

矿物原料中 锗的光谱测定

〔苏联〕 H. B. 阿尔瑙托夫 著

章志仁等译

中国工业出版社

矿物原料中 锗的光谱测定

中国科学院地球化学研究所

吴国平 周海

中国工业出版社

矿物原料中锗的光谱测定

[苏联]H.B.阿尔瑙托夫 著

章志仁 等译

中国工业出版社

本书叙述了矿物原料（煤灰、铁和硫化物矿石、黄玉和云英岩）中以及它们的加工产品（焦炭、烟尘、炭黑、锌生产的废料等）中锗的光谱定量测定方法。此外，还叙述了水和溶液中微量锗（1微克/升）的测定方法，近似定量测定锗的快速法、以及空气吹入法快速定量测定铁矿石中的锗。

本书供分析工作者、地质工作者、地球化学工作者和技术加工选矿人员参考。

全书由章志仁、张冀、吴朝衡翻译，由熊功乡、蒋铁珊审校。

Н. В. Арнаутов

СПЕКТРОГРАФИЧЕСКОЕ ОПРЕДЕЛЕНИЕ

ГЕРМАНИЯ В МИНЕРАЛЬНОМ СЫРЬЕ

ИЗДАТЕЛЬСТВО СИБИРСКОГО ОТДЕЛЕНИЯ

АН СССР

Новосибирск-1959

* * *

矿物原料中锗的光谱测定

章志仁等译

*

地质部地质书刊编辑部编辑（北京西四革新大街地质部院内）

中国工业出版社出版（北京佐麟路丙10号）

北京市书刊出版业营业登记字第110号

中国工业出版社第四印刷厂印刷

新华书店北京发行所发行·各地新华书店经售

*

开本787×1092^{1/32}·印张2·字数35,000

1964年12月北京第一版·1964年12月北京第一次印刷

印数0001—2,980·定价(科六)0.28元

*

统一书号：15165·3739(地质-309)

目 录

緒 言	1
鍺的定量測定方法的概況	4
煤灰、貝褐炭-褐煤、焦炭、炉渣、炭黑中鍺的 測定	32
鐵矿石中鍺的測定	34
黃玉和石英-黃玉云英岩中鍺的測定	36
閃鋅矿矿石、精矿和鋅产生的烟尘中鍺的測定	39
溶液中和水中鍺的測定	41
矿物原料中鍺的快速近似定量測定法	46
参考文献	55

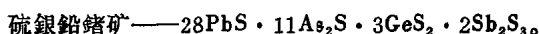
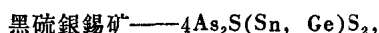
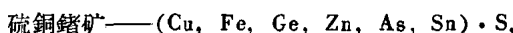
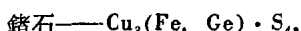
緒 言

鍺屬門捷列夫周期表第四族元素，原子序数32，原子量72.6，在化合物中具有+2和+4两种化合价。鍺属于分散元素。它在地壳中的含量（克拉克值）按А.П.維諾格拉多夫（Виноградов）的数据（1956）等于 $7 \times 10^{-4}\%$ 。

在岩石圈內大部分的鍺置換硅而分散在硅酸盐中。这首先是由于鍺和硅的离子半径大小相近，此外，它們的能量常数大小、晶格参数、电离势以及它們的化合物的分子体积都很接近。同时，可以看到鍺特別容易置換結合較弱的硅酸盐四面体中的硅。

在地球化学作用中鍺与硅、鐵、錫、鈦、鎳、碳、銅、鋅、鎵、砷，即与在周期表中处于相邻位置的元素紧密地结合在一起。在地壳中鍺主要聚集在硅酸盐、硫化物、鐵矿石和可燃性有机岩中。

由于鍺在地壳組成中的含量不高以及它的特有的原子结构，鍺很少形成独立矿物。鍺通常以类质同象混入物的形式参加到矿物內，分散于其它物质的晶格中。鍺的独立矿物属于硫盐之类。現已知鍺的矿物有五种：



所有这些矿物都是稀有的，而它们的大规模的积聚是非常少见的。

尽管现有分析方法的灵敏度不够高，因而使得对锗的存在分散形式研究得还不够，但根据已积累的资料可以推断在不同的地球化学条件下锗的性状。例如，已知在高温条件下锗几乎表现不出亲硫的特性，而是分散在硅酸盐生成物中，除黄玉云英岩外，一般都不形成大的工业富集。这样的富集只有在低温热液阶段才会出现，并与硫化物矿物组合，主要是与闪锌矿有关。锗的最大富集形成于表生作用条件下，首先与含煤沉积有关，其次与含铁沉积物有关。

光谱分析方法曾多次被用来测定沉积岩、矿物和煤灰中的锗。值得指出的是，锗元素是 K. 文克列尔 (Винклер) 首次用光谱分析发现的。B. M. 戈尔德斯密特 [13] 曾指出，当研究岩石圈中锗的分布情况时可以广泛采用对矿物、岩石和矿石的光谱半定量分析。集耳别尔明茨 (Зильберминц)、鲁沙诺夫、科斯特里金 (Кострикин) 等 [18, 24] 利用炭电弧作为光谱激发光源进行了煤灰中锗的半定量测定。

A. K. 鲁沙诺夫的著作应该是第一个阐述定量测定锗的方法的著作 [43, 44]。作者用纸条法将样品引入交流电弧测定煤灰中含量范围为 0.01—1% 的锗。

经过相当长的一段时间以后，才出现了大量的定量测定锗的著作 [3, 5, 9, 12, 14, 24, 34, 40, 41, 45, 52, 53, 54, 57, 65 等]。这些著作中绝大多数是用光谱方法测定煤灰中的锗，采用直流炭电弧作为光谱激发光源。被分析的煤灰样品装在下电极作为阳极。测定灵敏度不超过 0.001% [12, 25, 40, 56, 62]。仅有萨杰奇基-卡尔多什 (Садечки-Кардом) 和宾乔 (Бенкэ) [65] 在测定匈牙利的煤灰时灵敏度曾达到过 0.0004%。他们用 15 安培电

流，从阳极蒸发 30 毫克样品曝光时间 9 秒。

皮特(Питт)和弗列特涅尔(Флетнер)曾用稍为不同的方法将分析煤灰引入直流电弧中^[62]。把煤灰和碳酸锂按 1:4 比例制备的样饼装入下炭电极，然后蒸发 60 秒。预燃时间为 15 秒。灵敏度达到 6 微克/毫升。

利用交流活化电弧作激发光源来测定锗的工作做得还十分有限^[3, 34]。

加里斯(Гаррис)用光谱化学法进行过硅酸盐中锗的测定^[57]。获得了高的绝对灵敏度——50 毫升样品中 0.05 微克的锗，然而，方法不能满足快速的要求，因为分析前样品的制配(蒸馏分离)费时很多。

还有不少研究者采用预先将矿石轉变成溶液，随后自溶液中测定锗的方法^[14, 51]。

在分析伊尔吉利德麦特(Иргиредмет)有色和稀有金属矿石时拟定了锗、銻和镓的定量测定方法^[41]。用断續交流电弧作光谱激发光源，将放置在旋转圆盘上的分析粉末引入弧焰中。称取约 0.5 克混有缓冲剂的样品，缓冲剂是炭粉和碳酸氢钠按 1:1 或 1:4 的比例配成，样品借水玻璃粘置在铜或铝质转盘上。这个增加引入弧焰中样品量的方法曾由 Я. Д. 賴赫巴烏姆(Райхбайм)使用来测定了十万分之几或更低量的锗。

有关硫化物矿石、硅酸盐、烟尘和水中锗的光谱测定的著作还很少。有关测定铁矿、黄玉和黄玉云英岩中锗的著作向来就沒有。

本书在一定程度上可以弥补这个缺陷。为了使这个方法更快地应用到生产实验室的实际工作中去，本方法的拟定工作是用标准仪器进行的。

銻的定量測定方法的概况

仪器和激发光源

由于銻的最灵敏綫是在紫外波段，而中等色散率水晶摄譜仪 ИСП-22/28、Q-24、Hilger—的分辨能力和光强不但能滿足高含量銻的測定需要，特別有意义的是还能測定低含量的銻 ($\leq 0.001\%$) 以及其它大多数元素。用标准三透鏡系統来照明摄譜仪狹縫。为了使最大光量自弧焰中心部分进入摄譜仪狹縫，在第二透鏡前的中間光栏的高度應該不小于5毫米。当测量低含量时 ($< 0.0007\%$) 应采用单透鏡系統，并使弧焰清晰成象于摄譜仪狹縫上。

使用活化交流电弧作为光譜激发光源。可以利用工业部門所生产的 $\Delta\Gamma$ -2, $\Delta\Gamma$ -1或 $\Pi\mathcal{C}$ -39发生器中的任何一种产生活化交流电弧。

在 $M\Phi$ -2 或 $M\Phi$ -4 测微光度仪上測量譜綫和背景的黑度。

分析物质引入弧焰的方法

当分析各种各样的和組分复杂的原料时很难选择出这样一种同时能保証測定具有高灵敏度和精确度的物质引入弧焰的方法。能保証提高分析灵敏度的某些引入方法从結果的精确度方面来看常常是不能令人满意的。另一方面有些将試样原料引入弧焰中的方法虽提高了分析精确度可是却降低

了灵敏度。

許多研究者在測定鍺时，采用了不同的将分析粉末样品引入弧焰中的方法：載在紙条上^[9, 43, 44]，撒矿于水平电极之間^[44]，采用旋轉圓盤^[41]，从下电极孔穴中蒸发^[12, 34, 56]等。基于物质部分蒸发的前三种方法能得到高的灵敏度，但要求比較大的样品量——0.1—5 克。必須准备相当大量的样品，在許多情况下会带来更多的困难。首先对于精煤的輕部分、炭黑、揮发性灰分、在滤器上沉淀的輕灰的分析便是如此。

从炭电极孔穴中将被分析粉末完全蒸发的方法固然可能分析少量称量的样品，而且分析結果受物质的化学組分的影响很小^[44]。然而此种办法会使譜帶黑度增强和譜綫数量增加，在組分相当复杂的矿石中測定鍺便很困难，至于在某些基体中，例如在鐵矿石中，簡直就不可能測定小含量的鍺。众所周知，选择适当的工作条件自下电极孔穴中分馏蒸发的方法得到高的灵敏度和足够的精确度，尤其重要的是它可以进行少量样品中鍺的測定^[3, 5, 65]。

因此，利用鍺在弧烧初期从下电极孔穴中产生部分蒸餾的办法，分析各种各样原料中的鍺是最适合的也是最简单的。

我們在进行分析和研究工作时，曾采用此种办法作为重要方法。

分析綫和內标的选择

水晶光学系統的摄譜仪用于 2000—6000 Å 波长范围，几乎所有主要的鍺綫都在此波段内；其最强 綫是 2651.18 Å；3039.06 Å；2709.63 Å；2691.34 Å；2754.59 Å；2651.57 Å；2592.54 Å；3269.49 Å；2497.96 Å（按在交流电弧光譜中出現的次序排列的）。

当定量测定低量鍺时通常使用它的最强綫 2651.18 \AA 和 3039.06 \AA 。在某些情况下由于分析物质中有其它元素的譜綫位于鍺綫附近并与鍺綫重迭，因此，利用这两条鍺綫的其中任何一条作为分析綫时常有困难。

极弱的鉄的火花綫 2651.29 \AA ，弱銨綫 2651.12 \AA 和鉭綫 2651.22 \AA 都干扰最灵敏的鍺綫 2651.18 \AA ，同时試驗样品中含有大量鉛时还会有部分遮盖这条鍺綫的寬帶出現。使用譜綫 2651.18 \AA 进行定量分析时在某些情况下可能发生錯誤，这是因为有鉻綫 2650.78 \AA 和鋁綫 2652.49 \AA （例如，黃玉和黃玉云英岩的分析）輻射背景与之重迭。

使用鍺綫 3039.06 \AA 进行定量分析时可能受到弱鉄綫 3039.32 \AA 与强銨綫 3039.36 \AA 的干扰。銨綫 3039.19 \AA 以及鉭和釷的弱綫实际上不会与鍺綫重迭，因为这些元素仅在鍺完全蒸发之后才开始明显地蒸发。

当鍺含量在大范围内变化时，对于整个含量范围利用同一分析綫是不行的。在灰分中鍺含量 $>0.05\%$ 时鍺綫 2651.18 \AA 和 3039.06 \AA 具有过大强度，在 $0.06\text{--}1\%$ 的含量范围内我們曾使用次灵敏綫 2691.34 \AA 作为分析綫，此綫具有适宜的浓度灵敏度。由于干扰綫的重迭在不能使用較灵敏綫 2651.18 \AA 和 3039.06 \AA ，测定低含量的鍺的情况下建議使用波长为 2691.34 \AA 的鍺綫。例如在含有綠柱石和錫石的黃玉云英岩或者带有方鉛矿混入物的閃鋅矿以及其他可能共生組合中鍺的测定就需如此。

采用的分析綫与干扰分析元素的譜綫，以及干扰元素的检查綫都列于表1。

实际工作中会有要求在鍺綫上扣除杂质譜綫干扰影响的情况。例如，在鉄矿石中使用譜綫 3039.06 \AA 进行鍺含量的

鎳的分析線和干擾元素線

表 1

錯的分析線 Å	显示灵敏度 %	直接定量測定范围 %	干擾元素和它們的錯綫 Å	干擾元素的檢查綫 Å	干擾分析元素 的大致含量 %
2652.18 I	3×10^{-4}	0.00005—0.06	Fe I—2651.29(2) Pb—2647—2659 (寬帶) Al—2652.5 Be—2650.8	Fe I—2649.46(70)	在交流電弧中 不出現 $>3\%$ $>20\%$ $>0.05\%$
3039.06 I	7×10^{-4}	0.001—0.1	Fe—3039.316(20) In—3039.356(1000)	Fe—3014.175(40) In I—3256.09(1500)	$>10—15\%$ $>0.001\%$
2691.34	3×10^{-3}	0.006—1	Fe—2691.5(5)	Fe I—2692.25(20)	50%

附注：1. 在閃鋅矿和黃玉中显示灵敏度显著提高 ($1 \cdot 10^{-4}$)。

2. 括号內的数据依据加里宁的錯綫强度。

測定时在某些情况下需要对鉄綫 3039.32 \AA 产生的影响加以校正。

在鍺綫上重迭的鉄綫可用下列方式扣除。在通常工作条件下，是測量鉄綫 3039.32 \AA 和邻近某些較强的鉄綫的相对强度，这些較强的鉄綫被称为检查綫 (3014.175 \AA)。强度比值为 0.45。在任何分析中，如果鉄綫 3014.175 \AA 不出現，则可以确信鉄綫和鍺綫不发生重迭；如果检查綫出現了，从鍺綫 3039.06 \AA 和鉄綫 3039.32 \AA (已校正背景) 的总强度中必須扣除校正。将鉄綫 3014.175 \AA (已校正背景) 的强度乘以 0.45 即得校正值。扣除校正值就得到鍺綫 3039.06 \AA 强度的正确值。

图 1 上有按鍺綫 2651.18 和 3039.06 \AA 绘制的磁鐵矿的工作曲綫。在这里曲綫 3 是扣除了鉄綫 3039.32 \AA 对鍺綫 3039.06 \AA 的干扰影响而绘制的。

內标的选择

当分析矿物組分复杂的样品时，通常采用近似于分析元素的物理化学性质的物质作为內标元素。而且在分析样品中不應該含有內标元素。

从文献資料中已知，测定鍺时 可以应用元素 Bi、Sn、Cd、As、Cu、In 作为內标元素 [3, 12, 14, 34, 41, 44]。

在各种不同类型組分的矿物原料及选矿产品等物质中測定鍺时，选择內标元素遇到很多困难。在硫化物矿石和閃鋅矿中存在着大量上述元素。在选矿产品和烟道灰中有些与鍺具有相似揮发性的元素伴随存在。

因此，实际上必須針對不同的具体情况选择內标元素。

最近鋼鐵分析者經常采用分析綫附近的背景作为定量分

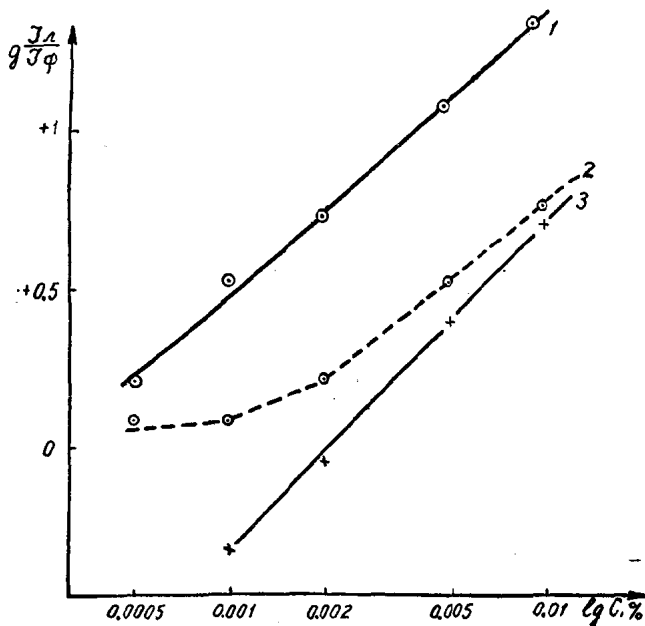


图 1 磁铁矿的工作曲线

1—按谱线 2651.18 \AA 绘成的曲线；2—按谱线 3039.06 \AA 绘成的曲线；3—按谱线 3039.06 \AA 并计算了铁线 3039.32 \AA 的干扰影响而绘成的曲线

析的内标^[3,8,37]。

确实，如果样品光谱的背景产生于样品的基体，可以采取这样的背景为内标。在此种情况下有许多优点：因为在很小光谱范围内进行强度测量，可以避免在不同波长范围内相板特性的差异；背景的强度易于从谱线强度中扣除^[8,37]。此外，在分析时缩短了准备样品的时间以及缩短了测光过程的时间。

当分析少量物质时（薄层物，烟道灰，沉淀等等）要求特別精确地加入內标元素，因为加入量稍不准确在測定时会加大誤差。

我們曾就利用鍺綫附近的背景作为內标的可能性进行了研究[3,4,45]。煤灰、炉渣、炭黑作为研究的对象，为了检查分析結果利用鎘为內标平行地进行鍺的測定。按占煤灰重量2%計算，将鎘以碘化鎘水溶液形式加入到标准和分析样品中。鍺綫 3039.06 \AA 对鎘綫 2980.63 \AA 以及鍺綫 3039.06 \AA 对邻近背景的强度比例的多次測定表明，在分析結果上只有不很大的差別。三次平行實驗結果的再現性前者为 $\pm 4-5\%$ ，后者为 $\pm 6.5\%$ 。在分析實驗中使用氧化鉻为內标与背景方法相比較一般不显示出优越性。以后的工作实践和大量的同样样品用化学分析所得結果的对照，亦証实可以使用背景作为內标。此时應該遵守以下的条件：应在沒有任何譜綫和带光譜的光譜区域中，在譜綫的同一边以及在与譜綫等距离处测量背景的黑度；被測量的背景部分应接近于譜綫。元素的分析綫和背景的关系不是严格一致的，为了得到滿意的分析結果，要求在样品光譜中的背景强度与在标准光譜中的背景强度相差不应超过20—25%。

工 作 条 件

由于鍺是易揮发的元素，通过选择适当的工作条件（电极形状，电流强度，曝光时间）有可能控制蒸发过程，使得基体物质极少被蒸发而鍺达到完全被蒸发[4,13,65]。用鍺綫与背景的强度比以及鍺綫与鐵綫的强度比作准则，来选择最适当的工作条件。这些比值愈大則避免誤差的分析范围愈广。此外，鍺綫强度对鐵綫强度之比，还能确定鍺与中等揮

发性的基体元素分馏程度。利用下面的两个方法可以提高分馏程度。

其一是利用低温，在此温度下中等挥发性的组分蒸发很弱，然而此时，锗则大量升华。

另一方法是强热使锗在短时内快速升华，此时具有高沸点的组分则极少蒸发。

在上述两种情况下，整个样品都应尽可能快地受热。所以需要采用大直径和不大深的孔穴的电极。

为此，我们采用如图2所示构造的电极^[3]。电极结构是简单的，制备并不复杂。下电极是直径为4毫米（内径3毫米）的钢管，将它套在直径为3.5毫米细铜棒顶端的圆锥体上，圆锥体顶端磨成2.8毫米。上电极是直径为3—3.5毫米的细铜棒。

因为在管子和铜棒结合处不易传热，在5安培的电流的条件下，全部样品很快地被烧热。同时光谱背景浅，很象将样品撒入弧焰时所产生的光谱背景。

在强热下，锗由炭电极中快速升华。利用下面规格的下电极已获得了良好的结果。孔深为3.5毫米，孔径为3毫

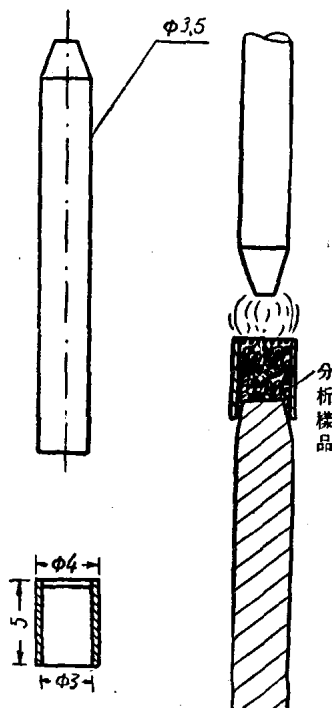


图2 电极构造

米，孔壁厚为0.5毫米(用专门的车刀在C3Y-2机床上进行电极的加工)。在比较大的孔径和薄电极壁的条件下，孔穴不深的电极有助于样品的快速烧热和锗的更强烈的升华。

曝光时间的长短对方法的灵敏度有影响。当锗很快烧尽时曝光时间的延长会造成背景黑度加深，以致灵敏度降低。

为了避免这一情况，需要限定锗进入弧焰的曝光时间。为了确定摄谱条件，曾绘制了锗在不同物质中的蒸发曲线(图3，4)。在8安培电流下由炭电极孔穴中蒸发，称样为30毫克，由同样的这些物质按1:1和1:2与炭粉混合后所得锗的蒸发曲线绘于图5，6中。

除磁-赤铁矿石和含铁石英岩外，在没有加缓冲剂的物质中在二、三十秒间锗基本上蒸发完毕。

包括铁矿石在内的所有分析物质与炭粉混合物中锗的蒸发具有另一种特性，并且蒸发得稍快。

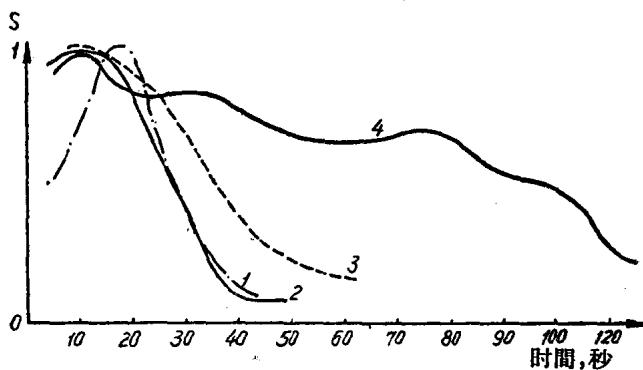


图3 锗在不同物质中的蒸发曲线

1—含方铅矿杂质的闪锌矿；2—煤灰；3—黄玉；
4—磁-赤铁矿石